

Выбор оптимальных параметров системы стабилизации ракеты-носителя

Национальный аэрокосмический университет им. Н.Е. Жуковского «ХАИ»

Постановка проблемы

При проектировании летательных аппаратов (ЛА) важнейшей задачей является выбор оптимальных параметров проектируемого объекта, обеспечивающих максимальную надежность ЛА. В статье [1] приведено описание различных критериев оптимизации параметров технических систем - как вероятностных, так и детерминированных. Разработка вероятностных критериев оптимизации помогла преодолеть главный недостаток детерминированных методов, заключающийся в детерминированном учете случайных возмущений. В настоящей статье приводятся результаты исследований по оптимизации параметров системы стабилизации (СС) ракеты-носителя (РН) по критерию вероятности устойчивости (ВУ). Рассматриваемая методика по выбору оптимальных значений параметров основана на модифицированном максиминном критерии оптимизации [1]. Для сравнения в качестве функции цели принимается набор безразмерных аргументов Гаусса одновременно по нескольким линейным моделям (ЛМ) критериальных функций (КФ).

Объект и цель исследования

Движение статически неустойчивой упругой РН в канале рыскания, устойчивость которой обеспечивается автоматом стабилизации, можно описать следующей системой дифференциальных уравнений [2]:

$$\begin{aligned} \ddot{z} &= a'_{zz} \dot{z} + a'_{z\psi} \dot{\psi} + a_{z\psi} \psi + a_{z\delta} \delta + \sum_{i=1}^4 (a''_{zs_{\psi_i}} \ddot{s}_{\psi_i} + a_{\psi s_{\psi_i}} \dot{s}_{\psi_i}); \\ \ddot{\psi} &= a'_{\psi z} \dot{z} + a''_{\psi\psi} \dot{\psi} + a_{\psi\psi} \psi + a_{\psi\delta} \delta + \sum_{i=1}^4 (a''_{\psi s_{\psi_i}} \ddot{s}_{\psi_i}); \\ \ddot{s}_{\psi_i} + \varepsilon_{s_{\psi_i}} \dot{s}_{\psi_i} + \omega_{s_{\psi_i}}^2 s_{\psi_i} &= a''_{s_{\psi_i} z} \ddot{z} + a''_{s_{\psi_i} \psi} \ddot{\psi} + a_{s_{\psi_i} \psi} \dot{\psi}; \\ T_2 \ddot{\delta} + T_1 \dot{\delta} + \delta &= K_{\phi} \psi + K_{\dot{\phi}} \dot{\psi} - K_z \dot{z}, \end{aligned} \tag{1}$$

где ψ - отклонение угла рыскания ракеты как твердого тела от программного значения; z - отклонение центра масс от программного значения; δ - угол отклонения управляющих органов; a_{ij} - коэффициенты; T_1, T_2 - постоянные времени АС; K_{ϕ} - коэффициент усиления по каналу рыскания, $K_{\dot{\phi}} = T_d K_{\phi}$; T_d - постоянная времени дифференцирования; K_z - коэффициент усиления по

скорости отклонения центра масс; i – количество тонов упругих колебаний; j – количество баков с топливом.

Параметры a_{ij} , T_1 , T_2 , K_ϕ , $K_{\phi\phi}$, T_d имеют существенные случайные разбросы.

В качестве условий работоспособности [2] принимаются:

1) упрощенные условия устойчивости системы (1)

$$\frac{(K_\phi |a_{z\delta}| + |a_{z\phi}|)K_{\dot{z}} + a_{\phi\phi}K_\phi(T_d - T_1)}{|a_{\phi\delta}|K_\phi^2(T_d - T_1)} - 1 < 0, \quad (2)$$

$$\frac{a_{q\delta}a_{\delta q}K_\phi T_d^2 T_2}{(|a_{qq}|T_2 T_d - T_d + T_1)T_1} - 1 < 0; \quad (3)$$

2) условия устойчивости на основании корней системы (1), которые имеют вид:

$$\begin{aligned} z &= x \text{ (вещественные корни);} \\ z &= x + iy, \\ z &= x - iy \text{ (комплексно-сопряженные корни).} \end{aligned} \quad (4)$$

В качестве условий устойчивости принимаются условия

$$R_k < 0, \quad (5)$$

где $R_k = x$ – вещественные корни или действительные части комплексно-сопряженных корней (4).

Цель данного исследования:

- провести выбор оптимальных значений параметров СС по критериальным функциям, соответствующим упрощенным условиям устойчивости (2) и (3);
- провести выбор оптимальных значений параметров СС по характеристическим корням системы;
- провести сравнительный анализ эффективности и полученных результатов оптимизации параметров СС двумя вышеописанными способами.

Методика исследования

В процессе выбора оптимальных параметров используется построение линейных моделей КФ – классической, граничных секущей и касательной ЛМ - и вычисление безразмерных аргументов Гаусса (U_i) по каждой модели, соответствующих вероятности устойчивости системы. Рассматриваемый критерий оптимизации (равно как и вероятностный максиминный критерий [1]) применяет гипотезу о нормальном распределении КФ и ее ЛМ.

Для определения направления оптимизации задают величины шага α по вектору параметров, строят ЛМ, затем сравнивают наборы аргументов Гаусса по

ЛМ, соответствующие полученным значениям параметра, и делают вывод о направлении изменения параметра.

Алгоритм оптимизации носит итерационный характер. В процессе оптимизации происходит замена значения параметра предыдущего шага новым значением следующего шага в случае, если последнее соответствует большим аргументам U_i , либо уменьшение коэффициента шага в обратном случае. Изменение параметра продолжается до достижения коэффициентом шага минимального допустимого значения.

При оптимизации в наборах аргументов Гаусса по ЛМ значения U_i , удовлетворяющие условию $U_i^r - U_z \geq 0$ (где U_z - аргумент Гаусса, соответствующий заданному допустимому значению ВУ), не принимают во внимание; целью оптимизации является максимально возможное увеличение значений $U_i^r < U_z$.

Алгоритм оптимизации параметров

1. Задание начального вектора параметров и начальной величины шага изменения параметров α_0 .

2. Формирование матрицы Гаусса на основании системы дифференциальных уравнений (1) для вычисления корней системы в виде $z = x$, $z = x + iy$, $z = x - iy$.

3. Нахождение невозмущенных значений КФ (действительные части корней системы (1)).

4. Построение ЛМ КФ в виде $\lambda = \lambda_0 + \sum_{i=1}^n b_i \eta_i$ (где b_i - коэффициенты линеаризации, λ_0 - свободный член).

4.1. КЛМ проходит через точку исходной КФ $\lambda(\eta) = \lambda(0) = \lambda_0$, в которой случайные возмущения параметров отсутствуют. Для построения КЛМ λ_0 принимаются равными $\lambda_{0i} = \lambda_i(0)$, т.е. невозмущенным значениям КФ. Коэффициенты линеаризации определяются по формуле $b_i = \frac{\lambda(\Delta\eta_i) - \lambda(-\Delta\eta_i)}{2\Delta\eta_i}$, $i = \overline{1, n}$, где $\Delta\eta_i$ - вариация i -й компоненты вектора η , равная $\Delta\eta_i = 2\sigma_i$, σ_i - с.к.о. i -й компоненты вектора η , $\lambda(\Delta\eta_i)$ либо $\lambda(-\Delta\eta_i)$ - значения КФ для вектора η , у которого все компоненты, кроме i -й, равны нулю, а i -я компонента равна $\Delta\eta_i$ либо $-\Delta\eta_i$.

4.2. СГЛМ имеет две общие точки с исходной КФ: точку $\lambda_0, \eta_k = 0$ и точку $\eta_k^* = \frac{\Lambda_0 b_k \sigma_k^2}{\sum_{i=1}^n b_i^2 \sigma_i^2}$ - точку пересечения КФ с границей работоспособности ($k = \overline{1, n}$).

Для построения данной модели предварительно строят КЛМ, а затем КоЛМ - линейную модель, компланарную классической и проходящую через точку

$\eta_k^* = \frac{\Lambda_0 b_k \sigma_k^2}{\sum_{i=1}^n b_i^2 \sigma_i^2}$. КоЛМ строят путем «параллельного сдвига» КЛМ до пересечения с

границей работоспособности, т.е. путем изменения лишь свободного члена КЛМ - $\lambda^r_0 = \lambda_0^{r-1} - \alpha \Delta \lambda^{r-1}$ (где $\Delta \lambda^{r-1}$ - абсолютная погрешность аппроксимации, $0.1 < \alpha < 0.5$ - коэффициент приращения свободного члена). Процесс построения КолМ носит итерационный характер. При нарушении условия $\varepsilon^r_\lambda \leq \varepsilon^{r-1}_\lambda$, (где ε_λ - относительная погрешность аппроксимации КФ) уменьшается коэффициент α . Выполнение условия $|\varepsilon_\lambda| \leq \varepsilon_d$ (где ε_d - допустимое значение относительной погрешности аппроксимации) означает, что модель г-й итерации удовлетворительно аппроксимирует КФ в окрестности границы работоспособности и пригодна для оценки вероятности потери работоспособности. С целью лучшей аппроксимации КФ полученную КолМ разворачивают таким образом, чтоб она пересекала исходную КФ в точке λ_0 , - коэффициенты b_i меняются: $b'_i = b_i \frac{\Lambda - \lambda_0}{\Lambda - \lambda_0^{(r)}}$, $i = \overline{1, n}$. «Развернутая» таким образом КолМ является СГЛМ.

4.3. КГЛМ проходит через точку λ_0 исходной КФ. Для построения данной модели необходимо предварительно получить КЛМ. Процесс построения КГЛМ носит итерационный характер:

находят точку пересечения КЛМ с границей работоспособности

$$\eta^*_k = \frac{\Lambda_0 b_k \sigma_k^2}{\sum_{i=1}^n b_i^2 \sigma_i^2};$$

определяют абсолютную и относительную погрешности аппроксимации;

вычисляют значения коэффициентов b_i -

$$b_{ri} = \frac{\lambda(\eta^{*r-1} + \Delta \eta_i) - \lambda(\eta^{*r-1} - \Delta \eta_i)}{2\Delta \eta_i}, (i = \overline{1, n}, \Delta \eta_i = 2\sigma_i) \quad \text{и} \quad \text{свободный член}$$

$$\lambda_r = \lambda(\eta^{*r-1}) - \sum_{i=1}^n b_i \eta^{*r-1}, r = 1, 2, 3, \dots \quad \text{г-й итерации, а также проверяют условия } \varepsilon^r_\lambda \leq \varepsilon^{r-1}_\lambda$$

(при его нарушении уменьшается шаг итерации $\Delta \eta^{*r} = \alpha \Delta \eta^{*r-1}$, $0.1 < \alpha < 0.5$) и $|\varepsilon_\lambda| \leq \varepsilon_d$ (выполнение которого означает, что модель г-й итерации удовлетворительно аппроксимирует КФ в окрестности ее пересечения с границей работоспособности).

5. Определение безразмерных аргументов Гаусса на основании построенных ЛМ по формуле $u_\lambda = \frac{\Lambda - m_\lambda}{\sigma_\lambda}$, где m_λ и σ_λ - параметры распределения

линейной модели. На основании центральной предельной теоремы КЛМ, СГЛМ и КГЛМ имеют нормальный закон распределения. На основании теорем о числовых характеристиках ФСА находят их параметры распределения: математическое

ожидание $M[\lambda] = m_\lambda = \lambda_0$ и с.к.о. $\sigma_\lambda = \sqrt{D_\lambda} = \sqrt{\sum_{i=1}^n (b'_i)^2 D_i}$ (где D_i ($i = \overline{1, n}$) -

дисперсии случайных разбросов).

6. Выбор направления изменения оптимизируемого параметра, который состоит в получении аргументов Гаусса U_i по построенным ЛМ для значений параметра, равных $a = a_0 \alpha$ (где a_0 - начальное значение параметра, $\alpha = 0.2$ и 0.2), и сравнении полученных наборов U_i .

7. Поиск минимальных $U_i < U_z$, соответствующих вероятности, меньшей заданного допустимого значения. Пошаговое изменение оптимизируемого параметра в направлении увеличения минимальных U_i . Уменьшение коэффициента шага Δa при невыполнении условия $\{U^{r-1}\} < \{U^r\}$ (где U^r - набор минимальных аргументов Гаусса на r-м шаге).

Пункты 2 - 6 повторяются до достижения заданного значения коэффициента шага α_{dop} .

Примечание. Для случая оптимизации по упрощенным условиям устойчивости (2) и (3) пункт 2 включает лишь вычисление значения КФ по соответствующей формуле.

Блок-схема алгоритма выбора оптимальных значений параметров изображен на рис. 1.

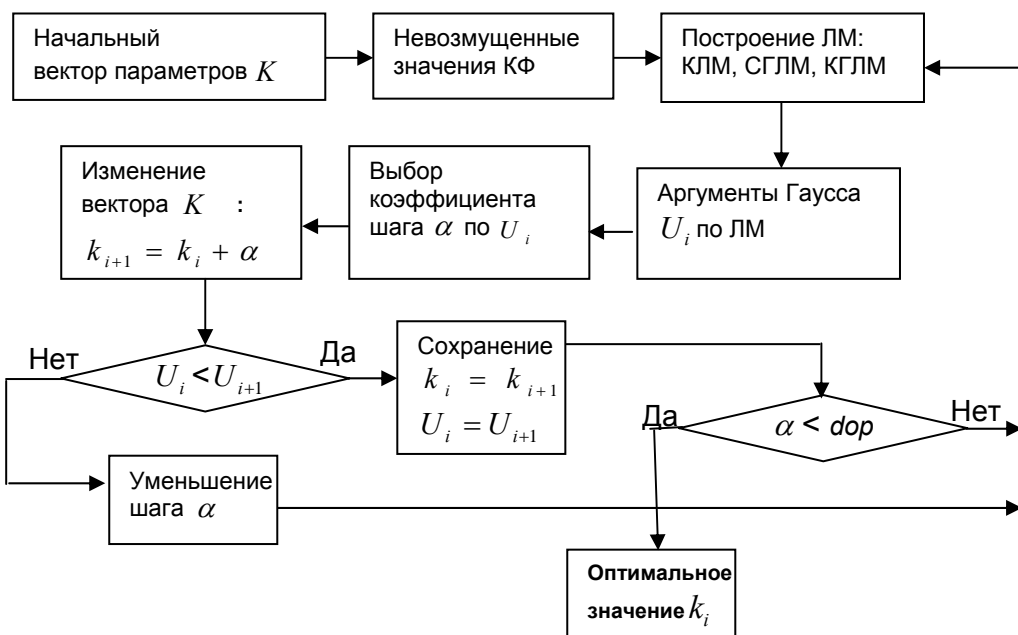


Рис. 1. Блок-схема алгоритма выбора оптимальных значений параметров

Результаты исследования

Номинальные значения и случайные разбросы параметров, соответствующие времени полета $t=70$ с. первой ступени РН «Циклон-3», предоставленные научно-производственным предприятием «Хартрон-Аркос», приведены в табл. 1.

Таблица 1

| Параметр | Разброс, % | Значение | Параметр | Разброс, % | Значение |
|-------------|------------|----------|--------------------|------------|----------|
| a_{zz} | 25 | -0,0169 | ε_{s1} | 5 | 0,228 |
| $a_{z\psi}$ | 5 | -0,715 | ε_{s2} | 5 | 0,0497 |
| $a_{z\psi}$ | 5 | -36,09 | ε_{s3} | 5 | 0,0546 |

Окончание табл. 1

| Параметр | Разброс, % | Значение | Параметр | Разброс, % | Значение |
|--------------------|------------|-----------|--------------------|------------|----------|
| $a_{z\delta}$ | 5 | -1,441 | ε_{s4} | 5 | 0,7493 |
| $a_{\psi z}$ | 4 | 0,0027 | $a_{\psi s1}$ | 10 | -0,0066 |
| $a_{\psi\psi}$ | 10 | -0,0616 | $a_{\psi s2}$ | 10 | -0,0121 |
| $a_{\psi\psi}$ | 30 | 1,8113 | $a_{\psi s3}$ | 10 | -0,0043 |
| $a_{\psi\delta}$ | 10 | -0,295 | $a_{\psi s4}$ | 10 | -0,0041 |
| ε_{q1} | 15 | 0,2511 | $a_{s\psi 1}$ | 10 | -26,0652 |
| ε_{q2} | 20 | 0,4005 | $a_{s\psi 2}$ | 10 | -26,9907 |
| ω_{q1}^2 | 35 | 247,8232 | $a_{s\psi 3}$ | 10 | -32,5062 |
| ω_{q2}^2 | 45 | 630,5364 | $a_{s\psi 4}$ | 10 | -44,212 |
| $a_{q\delta 1}$ | 10 | -2,4192 | T_1 | 40 | 0,1108 |
| $a_{q\delta 2}$ | 10 | -1,7115 | T_2 | 40 | 0,002 |
| ω_{s1}^2 | 10 | 26,0652 | T_d | 20 | 0,5 |
| ω_{s2}^2 | 10 | 26,9907 | K_z | 50 | 0,009 |
| ω_{s3}^2 | 10 | 32,5062 | K_z | 40 | 0,009 |
| ω_{s4}^2 | 10 | 44,212 | K_ψ | 30 | 10 |
| a_{qq} | 40 | -233,7707 | $a_{\delta q}$ | 20 | -0,1444 |

- Закон распределения всех коэффициентов – нормальный.
- Математическим ожиданием каждого коэффициента m_{ij} является значение этого коэффициента при нулевых разбросах, среднеквадратичное отклонение σ_{ij} для каждого коэффициента a_{ij} находят по формуле $\sigma_{ij} = \frac{\Delta_{ij}}{3}$.
- В качестве оптимизируемых параметров приняты коэффициент усиления по каналу рыскания K_ϕ (начальное значение 10) и постоянная времени дифференцирования T_d (начальное значение 0,5).
- Так как вполне удовлетворительным значением ВУ при проектировании объектов авиационной техники является 0,999999 (т.е. $U_i = 5,3$), то в качестве допустимого заданного аргумента принимают $U_i = 6$.

Выбор оптимальных значений параметров K_ϕ и T_d для упрощенных КФ (2) и (3)

- Невозмущенные значения КФ (2) и (3) соответственно равны **-0,3464** и **-1,1014**.
- Значения безразмерного аргумента Гаусса U_i по ЛМ при исходных значениях K_ϕ и T_d таковы:

для КФ (2) $U_{КЛМ} = 3,58$, $U_{СГЛМ} = 4,85$, $U_{КГЛМ} = 2,85$;

для КФ (3) $U_{КЛМ} = 22,49$, $U_{СГЛМ} = 285,2$, $U_{КГЛМ} = 42,64$.

- Начальное значение коэффициента шага для K_ϕ равно +2, для T_d -0.1.

- Минимальное допустимое значение коэффициента шага – 0.0001.

- Оптимальные значения параметров соответственно равны:

$$K_\phi = 14,02, \quad T_d = 0,55.$$

- Невозмущенные значения КФ (2) и (3) соответственно таковы: **-0,5415** и **-1,1467**.

- Полученным оптимальным значениям K_ϕ и T_d соответствуют следующие значения аргумента Гаусса U_i по линейным моделям:

для КФ (2) $U_{КЛМ} = 7,99$, $U_{СГЛМ} = 19,64$, $U_{КГЛМ} = 5,52$;

для КФ (3) $U_{КЛМ} = 17,13$, $U_{СГЛМ} = 31,77$, $U_{КГЛМ} = 19,73$.

Время выполнения оптимизации – 4 с.

Траектория оптимизации параметра K_ϕ по упрощенным условиям устойчивости представлена на рис. 2.

K_ϕ
10
12
14
16
14,2
14,02

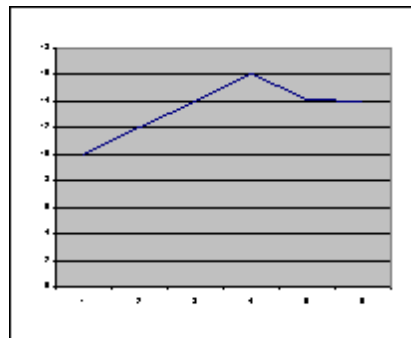


Рис. 2. Траектория оптимизации параметра K_ϕ по упрощенным условиям устойчивости

Выбор оптимальных значений параметров K_ϕ и T_d для КФ (4)

Ниже приводятся только корни системы (1), реагирующие на изменения значений оптимизируемых параметров K_ϕ и T_d , остальные корни в оптимизации не участвуют.

- Корни системы (1) при исходных значениях параметров равны: -44.5226, -9.5524, -0.6374+0.7803i, -0.6374-0.7803i, -0.0639+0.3665i, -0.0639-0.3665i.

- Невозмущенные значения КФ (вещественные корни и действительные части комплексно-сопряженных корней) таковы: **-44.5226**, **-9.5524**, **-0.6374**, **-0.0639**.

Значения безразмерного аргумента Гаусса U_i по ЛМ при исходных значениях K_ϕ и T_d представлены в табл. 2.

Таблица 2

| $U_{КЛМ}$ | $U_{СГЛМ}$ | $U_{КГЛМ}$ |
|-------------|--------------|-------------|
| 3,28 | 4,40 | 7,49 |
| 2,90 | 300,4 | 9,55 |
| 4,13 | 6,3 | 7,19 |
| 1,46 | 2,33 | 0.88 |

Начальное значение коэффициента шага для K_ϕ равно +2, для T_d - -0.1.

Минимальное значение коэффициента шага – 0.0001.

Оптимальные значения параметров K_ϕ и T_d : $K_\phi = 12,28$; $T_d = 0,5$.

Корни системы (1) при оптимальных значениях параметров равны: -44.5176, -9.6708, -0.5801+1.2317i, -0.5801-1.2317i, -0.0645+0.2660i, -0.0645-0.2660i.

Невозмущенные значения КФ, соответствующие оптимальным значениям параметров таковы: **-44.5176, -9.6708, -0.5801, -0.0645**.

Соответствующие оптимальным значениям параметров значения аргументов U_i представлены в табл. 3.

Таблица 3

| $U_{КЛМ}$ | $U_{СГЛМ}$ | $U_{КГЛМ}$ |
|-------------|--------------|--------------|
| 3,28 | 4,40 | 7,49 |
| 2,96 | 244,7 | 18,4 |
| 5,95 | 6,67 | 6,80 |
| 6,61 | 9,25 | 10,77 |

В табл. 4 приведены для сравнения полученные безразмерные аргументы Гаусса при исходных и оптимальных значениях параметров K_ϕ и T_d .

Таблица 4

| Исходные параметры | Оптимальные параметры | Исходные параметры | Оптимальные параметры | Исходные параметры | Оптимальные параметры |
|--------------------|-----------------------|--------------------|-----------------------|--------------------|-----------------------|
| $U_{КЛМ}$ | | $U_{СГЛМ}$ | | $U_{КГЛМ}$ | |
| 3,28 | 3,28 | 4,40 | 4,41 | 7,49 | 7,49 |
| 2,90 | 2,96 | 300,4 | 244,7 | 9,55 | 18,4 |
| 4,13 | 5,95 | 6,3 | 6,67 | 7,19 | 6,80 |
| 1,46 | 6,61 | 2,33 | 9,25 | 0.88 | 10,77 |

Время выполнения оптимизации – 2.8 мин.

Траектория оптимизации параметра K_ϕ по характеристическим корням системы (1) представлена на рис. 3.

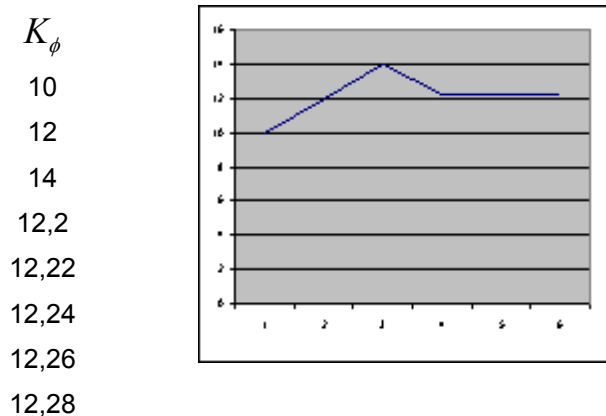


Рис. 3. Траектория оптимизации параметра K_ϕ по упрощенным условиям устойчивости

Выводы

В результате проведенной оптимизации значительно увеличены значения безразмерных аргументов Гаусса, а следовательно, и вероятности устойчивости системы. Выполнение оптимизации параметров по упрощенным условиям устойчивости занимает примерно в 40 раз меньше машинного времени и менее требовательно к ресурсам компьютера по сравнению с оптимизацией по корням системы. Однако метод оптимизации по корням позволяет более полно учесть всю специфику проектируемого объекта.

Список литературы

1. Лежнина М.В. Оптимизация параметров систем стабилизации ракет-носителей по критерию вероятности устойчивости// Открытые информационные и компьютерные интегрированные технологии. - Х.: НАКУ «ХАИ». – 2004. – Вып. 23. - С. 107-111.
2. Игдалов И.М., Кучма Л.Д., Поляков Н.В., Шептун Ю.Д. Ракета как объект управления: Учебник /Под ред. акад. С.Н. Конюхова. – Днепропетровск: АРТ-ПРЕСС, 2004.– 544 с.
3. Сухоробрый В.Г. Вероятностные методы проектирования технических объектов. – Х: ХАИ, 1990. – 103 с.
4. Ермаков С.М., Михайлов Г.А. Курс статистического моделирования.– М.: Наука, 1976.– 319 с.
5. Айзенберг Я.Е., Сухоробрый В.Г. Проектирование систем стабилизации носителей космических аппаратов. – М.: Машиностроение, 1986.- 220с.